

# 基于国密算法的设备安全认证系统设计

Design of device secure authentication system base on SM2

许小波 (上海交通大学电子系, 上海 200240)

**摘要:** 本文针对电子产品主机与设备之间的安全认证, 提出国密算法用于安全认证, 设计出通过两次签名验证完成主机对设备和设备对主机的认证方法, 并以手机主机对电池的认证进行示例演示。

**关键词:** 国密; SM2; 安全认证

## 0 引言

我们日常生活中使用的电子产品常常是主机带有设备, 如打印机与墨盒, 苹果手机与数据线。这些主机与设备之间一般都有一个安全认证过程, 即认证该设备是否合法, 只有合法的设备接入主机才允许使用, 以此保证产品安全可靠地运行。在安全认证方法上, 文献[1]中讨论了使用国际安全算法 SHA-256 和 ECDSA 的实现方式, 并且只包含了主机对设备的安全认证, 并没有设备对主机的主机安全认证, 属于单向认证。本文首先讨论了基于国密算法的设备安全认证方式, 然后设计出基于国密算法的设备单、双向安全认证系统。

## 1 国密算法安全认证方式

国密算法中包含对称密钥算法 SM1、SM4 等和非对称密钥算法 SM2<sup>[2]</sup>, 对称算法即消息发送和接收双方使用相同的密钥进行运算, 其好处是运算速度快, 缺点是需要严格保管好该密钥。非对称密钥算法即消息发送和接收双方使用不同的密钥进行运算, 消息发送方使用私钥签名, 消息接收方使用公钥验证签名, 其特点与对称密钥算法正好相反, 运算速度稍慢, 但只需要保管好私钥就行了, 公钥是可以公开的。基于上述特点, 在我们的讨论的主机与设备的安全认证中, 若是采用对称算法, 即主机与设备都使用相同的的密钥, 这就要求设备端的密钥不能被窃取, 大大增加设备端的安全保护难度。因此, 我们采用国密非对称算法 SM2。

## 2 国密算法安全认证系统设计

首先, 预置认证公钥。我们产生一对认证的 SM2 密钥对 Authentication\_Private\_Key 和 Authentication\_Public\_Key。在设备生产工厂的安全环境下, 将认证公钥 Authentication\_Public\_Key 预置到设备里, 其次, 用认证私钥对设备唯一性数据进行签名。设备里产生一对设备的 SM2 密钥对 Device\_Private\_Key 和 Device\_Public\_Key。导出设备的 Device\_Public\_Key 和设备序号等设备唯一性数据, 由认证私钥 Authentication\_Private\_Key 对其签名, 将签名信息再置入到设备里, 预置后的设备所含数据如图 1 所示。以上两步都是设备生产工厂的安全环境下进行, 同时要求设备出厂后对置入的认证公钥和签名信息、设备的 SM2 密钥对、设备序号等唯一性数据不可更改。最后, 设备出厂后认证方法如下。

主机端预置认证公钥证书 Authentication\_Public\_Key, 读取设备里的认证公钥信息进行比较, 不一致则认证失败; 若一致则继续读取设备里的设备公钥 Device\_Public\_Key、序号等唯一性数据和签名信息, 进行 SM2 签名验证。若签名验证失败则设备认证失败; 若签名验证通过, 则进一步地向设备发送一个设备认证随机数, 设备端用设备私钥 Device\_Private\_Key 对该随机数进行 SM2 签名, 返回该随机数的签名信息给主机, 主机端用前面读取的设备公钥 Device\_Public\_Key 对其进行 SM2 签名验证。若签名验证失败则设备认证失败;

作者简介: 许小波 (1982—), 男, 硕士生, 主要研究方向为嵌入式系统安全, Email: xuxiaobo1997@163.com。

(C)1994-2022 China Academic Journal Electronic Publishing House. All rights reserved. <http://www.cnki.net>

若签名验证通过，则主机对设备认证成功。整个处理流程如图2所示。

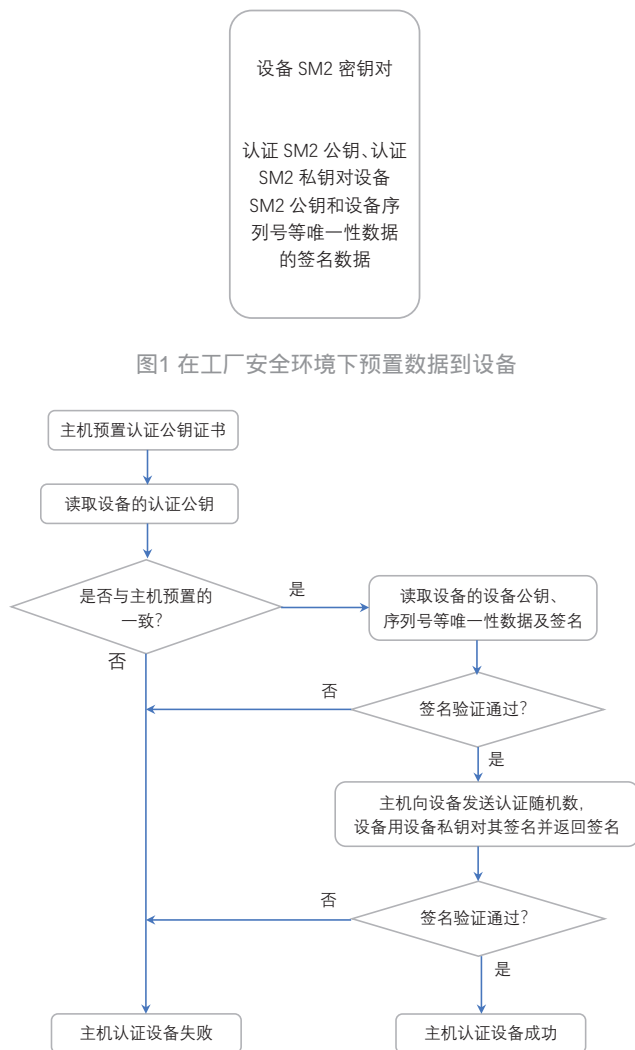


图2 主机认证设备流程图

对于更高安全级别的系统，设备端也可以对主机进行认证，即双向认证系统，其方法为：主机端除了预置认证公钥证书 Authentication\_Public\_Key，还预置有一对主机端的 SM2 密钥对 Host\_Private\_Key 和 Host\_Public\_Key，并且预置认证私钥 Authentication\_Private\_Key 对 Host\_Public\_Key 的签名信息。然后，主机将 Host\_Public\_Key 和该签名信息发送给设备进行 SM2 签名验证。若验证通过，主机再向设备请求一个主机认证随机数，然后主机端用主机端的 SM2 私钥 Host\_Private\_Key 对该随机数进行 SM2 签名，再将其发送给

设备进行 SM2 签名验证。若验证通过，则完成了设备对主机认证。整个处理流程如图3所示。

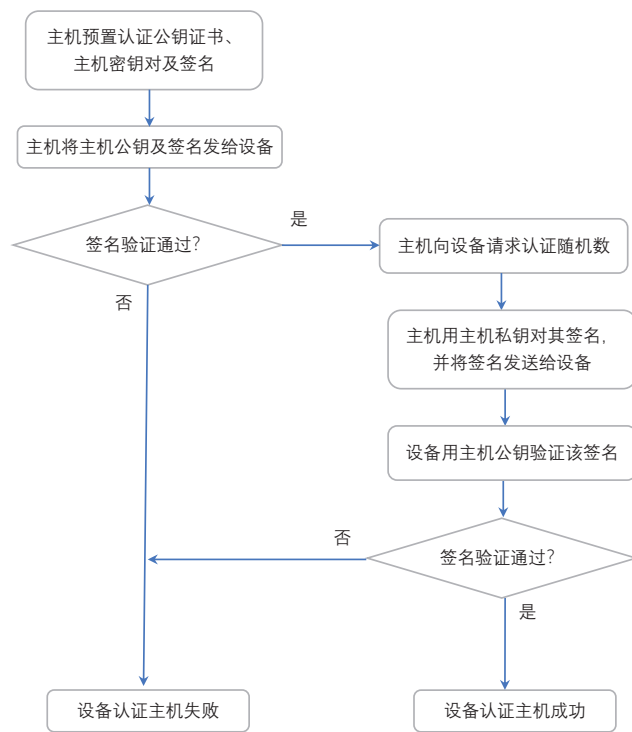


图3 设备认证主机流程图

## 3 国密算法认证系统示例

我们以手机主机对电池认证为例，在手机开机或充电时手机主机对电池设备进行安全认证，只有认证成功之后手机才能开机运行或对其充电。为此，我们需要在电池设备里增加一颗国密安全芯片，用于和手机主机进行数据交互，预置公钥的安全存储和国密算法的签名验签等操作。这里我们选用上海爱信诺航芯电子科技有限公司的国密安全芯片 ACL16，它采用 32 位 ARM Cortex-M0 内核，最高主频 48 MHz，集成国密、国际算法等多种安全算法模块，电压、频率、温度等安全检测功能和主动金属屏蔽层保护、总线加密串扰等多种保护功能，拥有 USB、SPI、UART、I<sup>2</sup>C 等丰富的外设接口，内置 RC 振荡器，专门面向低成本、低功耗的应用领域<sup>[3]</sup>。

硬件方面，我们采用两线的 I<sup>2</sup>C 做为手机主机与 ACL16 的通讯接口，手机主机做为 I<sup>2</sup>C 主设备，ACL16 做为 I<sup>2</sup>C 从设备，再加上电源和地线接口，ACL16 这边

就完成了。由于两边 I/O 口电压不同，还需要在手机主机端增加一颗电压转换芯片，以实现 1.8~3.3 V 的电压转换。整个硬件框图如图 4 所示。

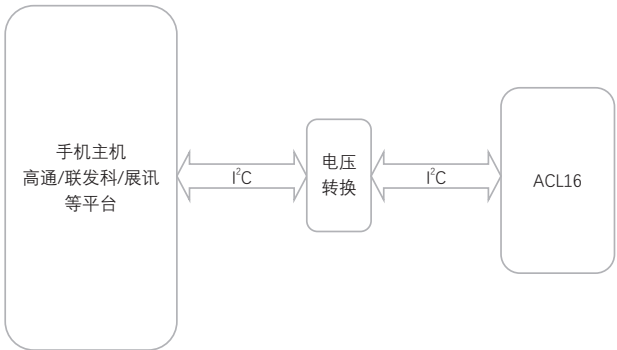


图4 手机主机与ACL16的硬件连接框图

软件方面包括 ACL16 的安全固件和手机主机软件，我们先来看 ACL16 这边的安全固件。ACL16 在上电后，首先进行系统初始化，开启各安全检测模块，初始化 I2C 接口，然后等待接收手机主机发送的命令。待接收完一包命令数据后，对命令数据进行完整性校验，只有校验通过后才对命令进行处理。最后，待命令处理完成，将命令响应数据发送给手机主机。

手机主机方面的软件分包括，处理与 ACL16 通讯的 Linux 驱动和 Android Java 应用层代码。在 Linux 驱动里，主要完成向 PC 总线驱动上注册驱动，注册字符设备和在 /dev 目录创建设备文件 authenticator，以使应用层对设备文件 authenticator 的读写操作时进而对 ACL16 进行发送命令和接收命令响应。Android 应用层代码包括 JNI 的 so 库和 Java 应用，其中 so 库主要完成对 authenticator 设备的打开、读写操作，为 Java 层提供操作接口。Android Java 应用则主要通过调用 so 库的接口，实现手机主机对电池的认证操作流程和电池对主机的认证操作流程。对于 JAVA 上的 SM2 签名、验签操作，其相关接口采用的是 Bouncy Castle 加密库 bcpv-jdk15to18-168.jar 中的 SM2 接口。Bouncy Castle 加密库是澳大利亚非营利组织 Bouncy Castle 编写的轻量级加密 API<sup>[4]</sup>，非常适合在手机上使用，最新版本为 Version 1.68，包含了对最新 CVE 漏洞的修复，以及对 TLS 1.3 版本的支持。我们在手机演示界面上添加三个按钮，分别执行主机认证设备、设备认证主机和清除显

示日志操作。其中点击完“主机认证设备”按钮后的界面如图 5 所示，点击完“设备认证主机”按钮后的界面如图 6 所示。



图5 点击主机认证设备按钮后的界面

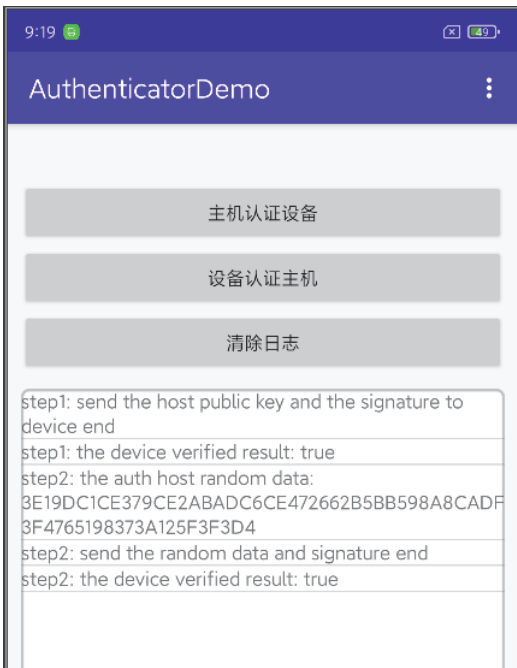


图6 点击设备认证主机按钮后的界面

(下转第56页)

表 5 中, 280 h 前为产品早期故障期, 20 年后为损耗故障期。中间部分为正常使用的有效寿命期, 这一阶段产品故障率相对稳定。由此可知, 我们的产品在出厂前要做好老化工作, 让其度过早期故障期。

3.5 参照标准<sup>[5]</sup>

参照 ISO13849 对  $MTTFFd$ ( 等同于这里的  $MTTF$ ) 的失效风险评估 ( 如表 7 )。

表7 ISO13849关于失效时间的定义

每个通道的平均危险失效时间 (MTTFFd)

每个通道的指标	每个通道的范围
低	$MTTFFd < 10$ 年
中	$MTTFFd < 30$ 年
高	$MTTFFd < 100$ 年

注意: 每个通道  $MTTFFd$  范围的选择基于该领域内最新技术的失效率, 这种技术构建了一种适合对数 PL 标度的对数标度, 现实中 SRP/CS 的  $MTTFFd$  值预期不能小于 3 年, 否则这意味着一年以后市场上 30% 的系统不合格且需要更换, 每个通道的  $MTTFFd$  值大于 100 年也不合适, 因为高风险下的 SRP/CS 不宜只依靠零件的可靠性, 为了加强 SRPCS 预防系统性和随机失效的能力, 推荐采用附加方法, 例如: 要求冗余和实验, 为了更可行, 范围的数量限制在 3 个内,  $MTTFFd$  值最大为 100 年的每个通道的限制应参考执行安全功能的 SRP/CS 的单个通道, 更高的  $MTTFFd$  值可用于单个零件

(上接第38页)

4 结语

具有国内自主知识产权的国密算法已经在金融领域开展使用, 并逐步替代国际安全算法。本文提出了基于国密算法用于设备的安全认证系统, 可取代现有的国际算法安全认证, 并可在更广泛的物联网领域进行实际推广应用。

(上接第43页)

4 结语

利用激光高速扫描的特点, 能够精确检测到跟车驶入时两车的间隙位置, 并对跟车的车辆进行准确的分离及准确的对应车辆的轮廓信息, 保证检测数据与车辆的一一对应关系, 保证车辆队列的正确性, 不多车, 不漏车; 可广泛地应用于固定式治超站、高速公路入口治超站、非现场执法站的车辆长超宽超高检测。

4 结语

新产品的寿命模拟评估已经引起了很多单位的重视, 未来会将  $MTTF$  计算系统与高温老化设备及电脑终端组建自动化测试系统, 将使产品寿命模拟测试更加直观和智能化。

参考文献:

[1] 胡志山. 射频印刷电感替代低值空心电感的探索[J]. 电子产品世界, 2015(1): 54-56.  
[2] 胡志山. 射频宽带产品的指压调试法[J]. 电子世界, 2014(17): 139-140.  
[3] 朱晓燕, 曹晋红. 浴盆曲线在可靠性设计和管理中的应用[J]. 中国质量, 2007(7): 25.  
[4] 江玉彬. 浴盆曲线在通信电源设备管理中的应用[J]. 通信电源技术, 2013(1): 11.  
[5] 国际标准化组织. 控制系统中与安全[S]. ISO 13849-1-2006.

参考文献:

[1] D' ONOFRI M. 通过设备认证杜绝造假[J]. 电子技术及信息科学, 2015(01): 32-34.  
[2] 国家密码管理局. SM2 椭圆曲线公钥密码算法[R/OL]. [ 2010-12-17 ]. [https://www.oscca.gov.cn/sca/xxgk/2010-12/17/content\\_1002386.shtml](https://www.oscca.gov.cn/sca/xxgk/2010-12/17/content_1002386.shtml).  
[3] ACL16\_Datasheet\_V2.0.pdf[Z].  
[4] Bouncy Castle Cryptography Library[R/OL]. <https://www.bouncycastle.org/java.html>.

参考文献:

[1] 李明, 康静秋, 贾智平. 嵌入式 TCP/IP 协议栈的研究与开发[J]. 计算机工程与应用, 2002, 38(16): 118-121.  
[2] 黄克亚. ARM Cortex-M3 嵌入式原理及应用——基于 STM32F103 微控制器[M]. 北京: 清华大学出版社, 2020.  
[3] STEVENS W R. TCP/IP 详解 卷 1: 协议[M]. 2 版. 译: 范建华, 等. 北京: 机械工业出版社, 2000.